

0.1 Классификация положений равновесия линейной автономной системы второго порядка. Характер поведения фазовых траекторий в окрестности положения равновесия двумерной автономной нелинейной системы. Теорема о выпрямлении траекторий.

0.1.1 Характер поведения фазовых траекторий в окрестности положения равновесия двумерной автономной нелинейной системы.

Рассмотрим систему уравнений

$$\begin{cases} \frac{dx}{dt} = f_1(x, y) \\ \frac{dy}{dt} = f_2(x, y) \end{cases} \quad (1)$$

Пусть $M_0(x_0, y_0)$ – положение равновесия данной системы, т. е. выполнено: $\begin{cases} \frac{dx}{dt}(x_0, y_0) = 0 \\ \frac{dy}{dt}(x_0, y_0) = 0 \end{cases}$

Для того, чтобы было проще исследовать фазовые траектории линеаризуем систему нелинейных автономных уравнений. Сделать это нам позволяет соответствующая теорема (дается без доказательства)

Теорема 0.1. *Если линеаризация нелинейной системы в начале координат ($x = 0$) является простой автономной системой и $x = 0$ не является центром для исходной системы, то в окрестности $x = 0$ нелинейная система и ее линеаризация качественно эквивалентны.*

Тогда, мы можем формально линеаризовать систему, используя известные методы:

$$\begin{cases} \frac{dx}{dt} = \frac{\partial f_1}{\partial x}(x - x_0) + \frac{\partial f_1}{\partial y}(y - y_0) + o(\rho) \\ \frac{dy}{dt} = \frac{\partial f_2}{\partial x}(x - x_0) + \frac{\partial f_2}{\partial y}(y - y_0) + o(\rho) \end{cases} \quad (2)$$

где $\rho = \sqrt{(x - x_0)^2 + (y - y_0)^2}$. В итоге, стандартной заменой $x = \bar{x} + x_0$ и $y = \bar{y} + y_0$ приводим систему к линейному виду.

$$\begin{cases} \frac{d\bar{x}}{dt} = \alpha_{11}\bar{x} + \alpha_{12}\bar{y} \\ \frac{d\bar{y}}{dt} = \alpha_{21}\bar{x} + \alpha_{22}\bar{y} \end{cases} \quad (3)$$

С этого момента, мы будем изучать виды фазовых траекторий и их поведение в окрестности положения равновесия для систем вида:

$$\begin{cases} \frac{dx}{dt} = a_{11}x + a_{12}y \\ \frac{dy}{dt} = a_{21}x + a_{22}y \end{cases} \quad (4)$$

с положением равновесия в точке $M_0(0, 0)$.

0.1.2 Классификация положений равновесия линейной автономной системы второго порядка.

Рассмотрим автономную однородную систему линейных ДУ (4) и введем матрицу системы:

$$A = \begin{pmatrix} a_{11} & a_{12} \\ a_{21} & a_{22} \end{pmatrix} \quad (5)$$

Получим собственные значения этой матрицы:

$$\begin{vmatrix} a_{11} - \lambda & a_{12} \\ a_{21} & a_{22} - \lambda \end{vmatrix} = \lambda^2 - \text{trace } A \cdot \lambda - \det A = 0 \Rightarrow \quad (6)$$

$$\lambda = \frac{\text{trace } A \pm \sqrt{\text{trace}^2 A - 4 \det A}}{2}$$

Фазовый портрет системы зависит от собственных значений матрицы A . Рассмотрим различные виды фазовых траекторий в зависимости от собственных значений.

1. Собственные значения $\lambda_1, \lambda_2 \in \mathbb{R}$ (или $\text{trace}^2 A - 4 \det A > 0$)

Тогда, в базисе собственных значений матрица A примет вид: $\bar{A} = \begin{pmatrix} \lambda_1 & 0 \\ 0 & \lambda_2 \end{pmatrix}$

система (4) будет иметь вид: $\begin{cases} \frac{dx}{dt} = \lambda_1 x \\ \frac{dy}{dt} = \lambda_2 y \end{cases}$

и решения данной системы в базисе собственных векторов: $\begin{cases} x(t) = c_1 e^{\lambda_1 t} \\ y(t) = c_2 e^{\lambda_2 t} \end{cases}$

Решение системы в исходном базисе: $\begin{cases} x(t) = c_1 e^{\lambda_1 t} h_1 \\ y(t) = c_2 e^{\lambda_2 t} h_2 \end{cases}$

где h_1, h_2 – собственные векторы матрицы A . Общий вид этого решения справедлив для всех случаев, при которых $\lambda \in \mathbb{R}$.

Рассмотрим фазовые портреты.

- (a) $\lambda_1 < 0, \lambda_2 < 0$ и $|\lambda_1| < |\lambda_2|$

Заметим прежде всего, что при $c_1 \neq 0, c_2 = 0$ и при $c_1 = 0, c_2 \neq 0$ мы получаем прямые линии с направляющими векторами h_1 и h_2 . Поэтому вектора h_1 и h_2 являются решениями системы.

Теперь, рассмотрим, что будет при $c_1 \neq 0$ и $c_2 \neq 0$. Из $\begin{cases} x(t) = c_1 e^{\lambda_1 t} \\ y(t) = c_2 e^{\lambda_2 t} \end{cases} \Rightarrow$

$t = \frac{1}{\lambda_1} \ln \frac{x}{c_1}$ подставляем выражение для y и получаем **в базисе собственных**

векторов $y = c|x|^{\frac{\lambda_2}{\lambda_1}} = c|x|^r$, где $r = \frac{\lambda_2}{\lambda_1} > 0$.

Таким образом мы приходим к выводу, что фазовые траектории в данном случае – есть параболы (с показателем $r > 0$), причем при $t \rightarrow 0$ фазовые траектории стремятся к положению равновесия.

Определение 0.1. *Положение равновесия, при котором собственные значения матрицы A одного знака и фазовые траектории направлены к положению равновесия называются **устойчивым узлом** рис 1.*

Примечание. *В случае, когда положение равновесия является узлом, фазовые траектории касаются оси с меньшим по модулю собственным числом.*

- (b) $\lambda_1 < 0, \lambda_2 > 0$ и $|\lambda_1| < |\lambda_2|$

Расположение и вид траекторий (как и принцип их нахождения) остаются такими же, как и в первом случае, но направление движения по траекториям при $t \rightarrow +\infty$ меняется на противоположное.

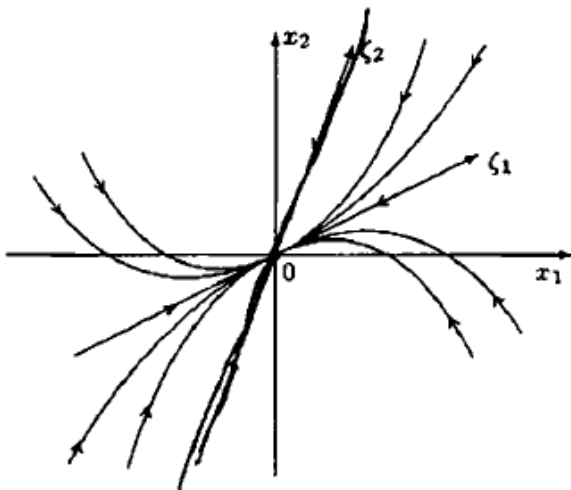


Рис. 1: Устойчивый узел, $\lambda_1, \lambda_2 < 0$

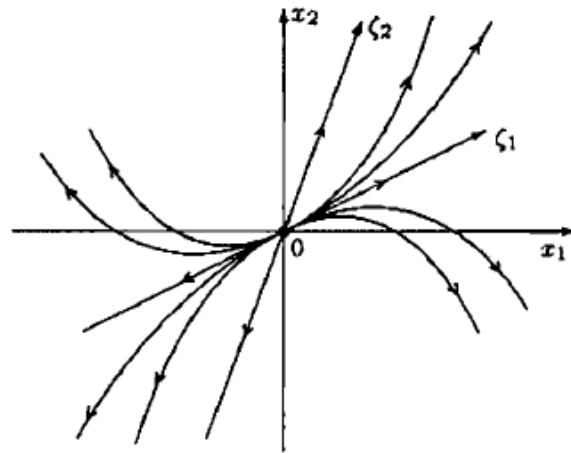


Рис. 2: Неустойчивый узел $\lambda_1, \lambda_2 > 0$

Определение 0.2. Положение равновесия, при котором собственные значения матрицы A одного знака и фазовые траектории направлены от положения равновесия называются **неустойчивым узлом** рис 2.

(с) $\lambda_1 < 0 < \lambda_2$

В этом случае при $c_1 = c_2 = 0$ получаем положение равновесия $x = 0$, при $c_1 \neq 0, c_2 = 0$ и при $c_1 = 0, c_2 \neq 0$ мы получаем прямые линии с направляющими векторами h_1 и h_2 . Для $c_1 \neq 0$ и $c_2 \neq 0$ аналогично первому случаю получим $y = c|x|^{\frac{\lambda_2}{\lambda_1}} = c|x|^r$, только в этом случае $r = \frac{\lambda_2}{\lambda_1} < 0$, поэтому траектории – это кривые типа гиперболы. При этом оси с направляющими векторами h_1 и h_2 служат асимптотами траекторий типа гипербол и называются **сепаратисами** 3.

Положение равновесия в этом случае называется седлом системы.

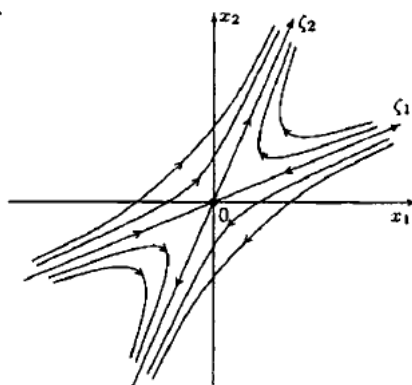


Рис. 3: Седло $\lambda_1 < 0 < \lambda_2$

(d) $\lambda_1 = \lambda_2 = \lambda$, причем существует базис плоскости из собственных векторов h_1 и h_2 матрицы A .

В этом случае решения системы в базисе собственных векторов:
$$\begin{cases} x(t) = c_1 e^{\lambda t} \\ y(t) = c_2 e^{\lambda t} \end{cases}$$
 каждое такое решение описывает в фазовой плоскости луч, выходящий из начала

координат, причем движение по лучу при $t \rightarrow +\infty$ идет к нулю для $\lambda < 0$ и от нуля для $\lambda > 0$.

При $\lambda < 0$ положение равновесия называется **устойчивым дикритическим** (илим **звездным**) **узлом**, а при $\lambda > 0$ **неустойчивым дикритическим** (илим **звездным**) **узлом** рис 4 и 5.

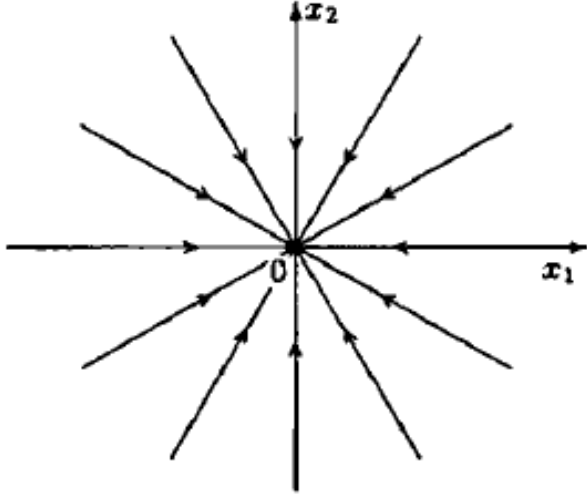


Рис. 4: Устойчивый дикритический узел, $\lambda < 0$

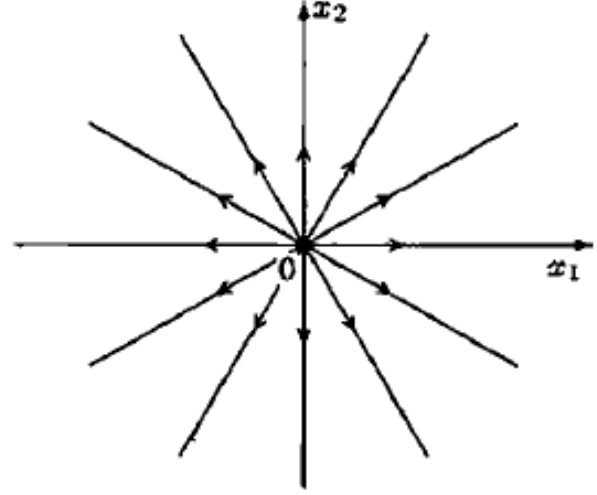


Рис. 5: Неустойчивый дикритический узел $\lambda > 0$

- (е) $\lambda_1 = \lambda_2 = \lambda$, причем существует базис плоскости из собственного вектора h_1 и присоединенного к нему вектора h_2 матрицы A .

В этом случае
$$\begin{cases} x(t) = (c_1 + c_2 t)e^{\lambda t} \\ y(t) = c_2 e^{\lambda t} \end{cases}$$

Из этой системы видно, что прямая с направляющим собственным вектором будет являться решением, а прямая с направляющим присоединенным вектором решением являться не будет.

Подобные фазовые траектории называются устойчивыми и неустойчивыми вырожденными узлами рис 6 и 7.

2. Собственные значения $\lambda_1, \lambda_2 \in \mathbb{C}$ (или $\text{trace}^2 A - 4 \det A < 0$)

В этом случае собственные значения матрицы A будут комплексными, запишем и с следующим виде: $\lambda_{1,2} = r \pm i\omega$. Так же, запишем выражения для собственных векторов матрицы: $\vec{h}_{1,2} = \vec{a} \pm i\vec{b}$. Тогда решение в базисе собственных векторов запишется в

следующем виде:
$$\begin{cases} x(t) = c_1 e^{rt} (\cos(\omega t) + i \sin(\omega t)) \\ y(t) = c_2 e^{rt} (\cos(\omega t) - i \sin(\omega t)) \end{cases} \quad \text{где } c_1, c_2 \in \mathbb{C}. \text{ Выделим действительное решение.}$$

Один из способов выделения действительного решения: положим комплексные константы таковыми: $c_1 = ce^{i\varphi}$, $c_2 = \bar{c}_1 = ce^{-i\varphi}$, где $c \in \mathbb{R}$. Подставим константы в решение и получим:

$$\begin{cases} x(t) = ce^{rt} e^{i(\omega t + \varphi)} \\ y(t) = ce^{rt} e^{-i(\omega t + \varphi)} \end{cases} \quad (7)$$

это вид решения в базисе собственных векторов, перейдем обратно в исходный базис и получим:

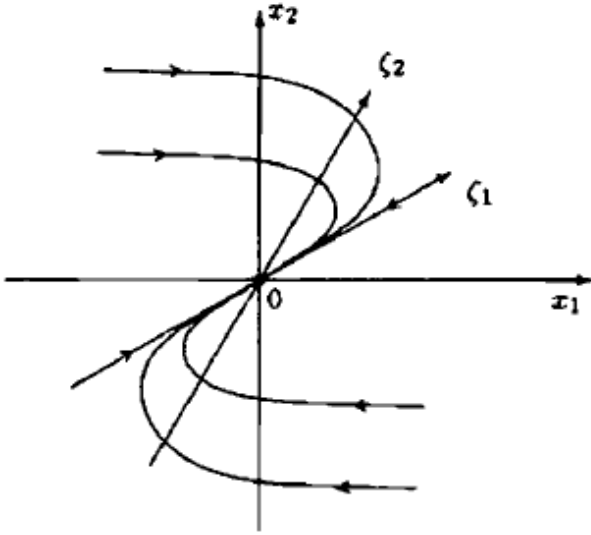


Рис. 6: Устойчивый вырожденный узел, $\lambda < 0$

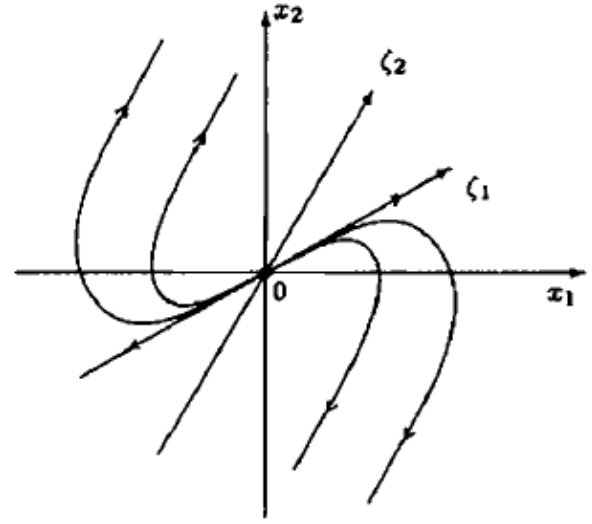


Рис. 7: Неустойчивый вырожденный узел $\lambda > 0$

$$\begin{pmatrix} x(t) \\ y(t) \end{pmatrix} = \begin{pmatrix} \vec{a} + i\vec{b} \\ \vec{a} - i\vec{b} \end{pmatrix} e^{rt} \begin{pmatrix} e^{i(\omega t + \varphi)} \\ e^{-i(\omega t + \varphi)} \end{pmatrix} \quad (8)$$

отсюда несложно выразить:

$$\begin{pmatrix} x \\ y \end{pmatrix} = ce^{rt} (2\vec{a} \cos(\omega t + \varphi) - 2\vec{b} \sin(\omega t + \varphi)) \quad (9)$$

перейдя к базису независимых векторов \vec{a} и \vec{b} получим:

$$\begin{cases} x = ce^{rt} \cos \chi \\ y = ce^{rt} \sin \chi \end{cases} \quad (10)$$

где $\chi = \omega t + \varphi$. Чтобы понять вид фазовой траектории перейдем к полярным координатам:

$$\begin{cases} \rho = ce^{r \frac{\chi - \varphi}{\omega}} \\ \chi = \omega t + \varphi \end{cases} \quad (11)$$

рассмотрим полученные уравнения и выделим два принципиальных случая.

(a) $r \neq 0$

В этом случае видно, что фазовая траектория представляет собой спираль, причем если $r > 0$ спираль раскручивается, а если $r < 0$ – закручивается. Такое положение равновесия называется **фокусом** рис 8, 9, 10, 11. Заметим, что направление закручивания (или раскручивания) определяется направлением фазовой скорости.

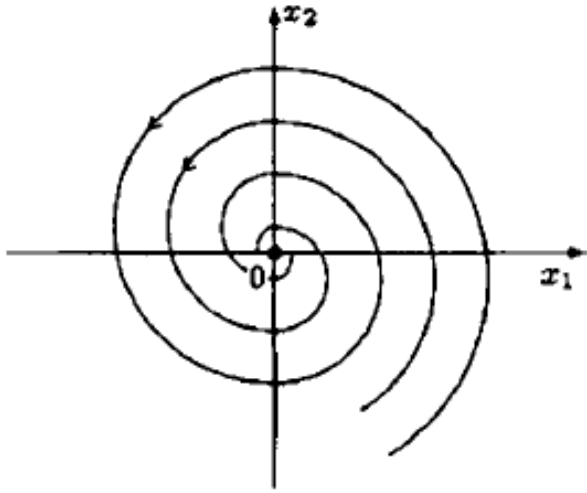


Рис. 8: Устойчивый фокус

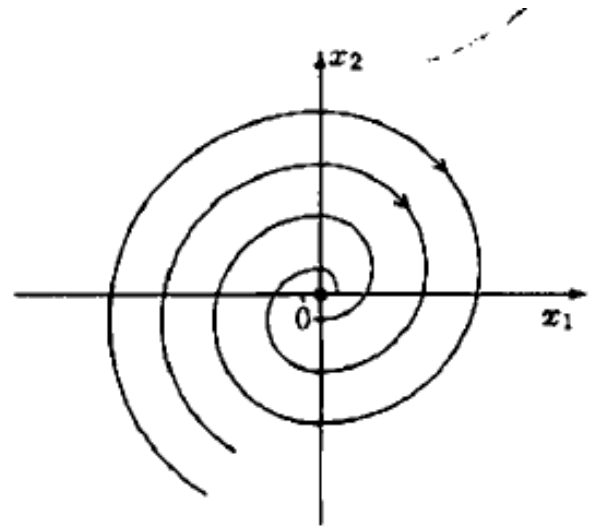


Рис. 9: Устойчивый фокус

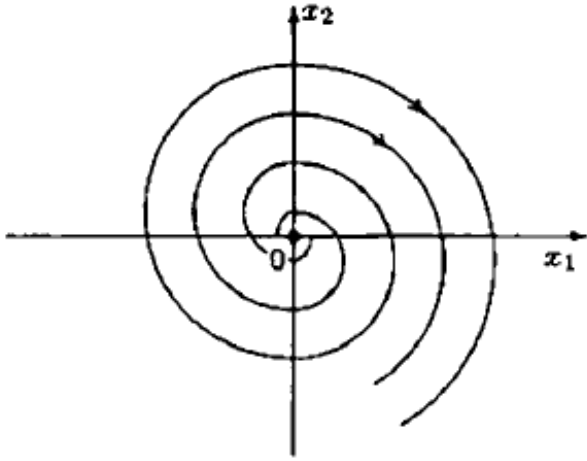


Рис. 10: Неустойчивый фокус

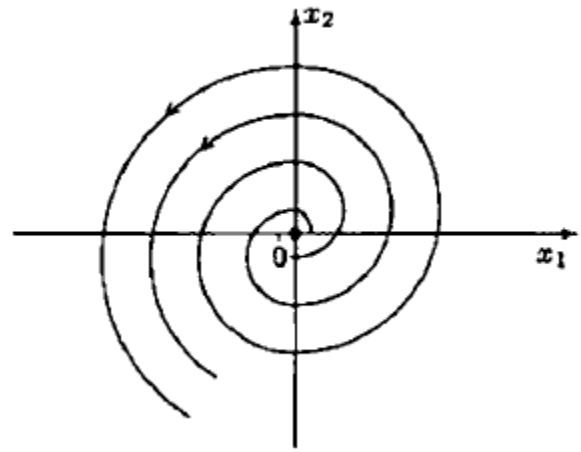


Рис. 11: Неустойчивый фокус

(b) $r = 0$

В этом случае в базисе векторов \vec{a} и \vec{b} фазовые траектории будут представлять собой окружности, что видно из уравнений $\begin{cases} x = c \cos \chi \\ y = c \sin \chi \end{cases}$ соответственно, в исходном базисе траекториями будут концентрические эллипсы. Подобное положение равновесия называется **центром системы** рис 12, 13.

0.1.3 Теорема о выпрямлении траекторий.

Пусть точка x_0 не является особой точкой автономной системы

$$\frac{dx_i}{dt} = f_i(x) \quad (12)$$

т. е. $f(x_0) \neq 0$, $x_0 \in D \subset \mathbb{R}^n$, где D – область фазового пространства.

Пусть при этом $\varphi(t, x_0)$ – решение этой системы, такое, что $\varphi(0) = x_0$. В этом случае справедлива **теорема о выпрямлении** (дается без доказательства):

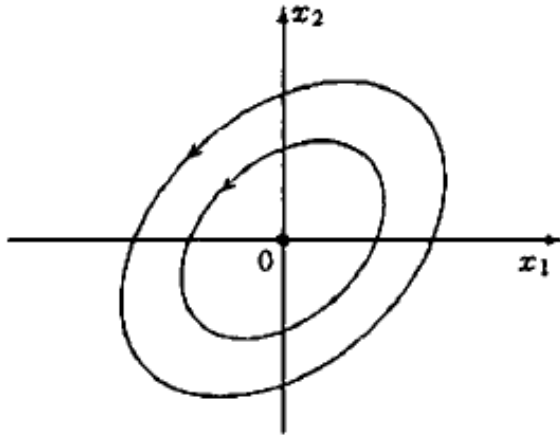


Рис. 12: Центр системы

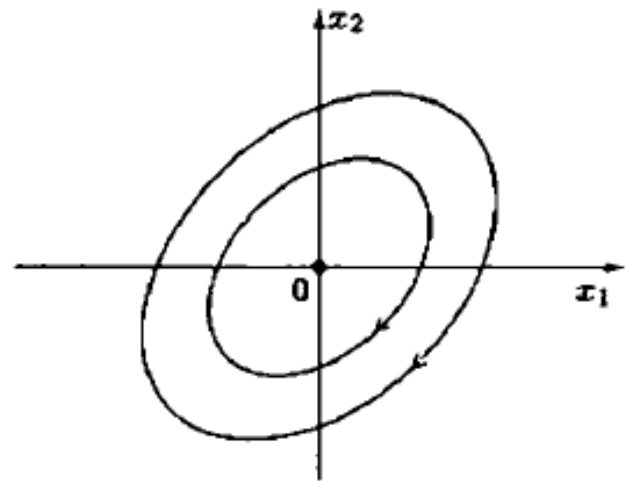


Рис. 13: Центр системы

Теорема 0.2. Существует окрестность точки x_0 , такая что в этой окрестности фазовая траектория с точностью до $o(t)$ является прямой линией с направляющим вектором $\vec{q} = \frac{\tilde{f}(x)}{|f(x)|}$.